



AECSS - GRSS 190

الجمهورية العربية السورية

هيئة الطاقة الذرية

دمشق - م.ب ١٠٩١



SY9800546

تقرير عن دراسة علمية ميدانية

قسم الجيولوجيا والخامات النووية

مسح اشعاعي طيفي في منطقة جنوب الرقة

الدكتور يوسف جبلي

الجيوفизيائي موسى عيسى

الجيولوجي رشاد الحنت

أيار ١٩٩٧

هـ طذس - ج / ت دع ١٩٠

٢٩ - ٤٠

**SYRIAN ARAB REPUBLIC
ATOMIC ENERGY COMMISSION (AECS)
DAMASCUS,P.O.BOX 6091**



**REPORT ON SCIENTIFIC FIELD STUDY
DEPARTMENT OF GEOLOGY AND NUCLEAR ORES**

**CARBORNE GAMMA-RAY SPECTROMETRIC SURVEY
SOUTH OF AR-RAQQA AREA, SYRIA**

**DR.YOUSSEF JUBELI
GEOPHYSIT.MOSA AISSA
GEOLOGIST. RASHAD AL-HENT**

الجمهورية العربية السعودية

هيئة الطاقة الذرية

قسم الجيولوجيا والخامات النووية

مسح اشعاعي طيفي في منطقة جنوب الرقة

الدكتور يوسف جبيلي

الجيوفизيائي موسى عيسى

الجيولوجي رشاد الحنت

أيار ١٩٩٧

هـ طـ ذـ سـ - جـ / تـ دـ عـ ١٩٠

حقوق النشر :

يسمح بالنسخ والنقل عن هذه المادة العلمية للاستخدام الشخصي بشرط الاشارة إلى المرجع ، أما النسخ والنقل لأهداف تجارية غير مسموح بهما إلا بموافقة خطية مسبقة من إدارة الهيئة .

المحتويات

	ملخص
(1)	- مقدمة.....1
(2)	- هدف الدراسة.....2
(2)	- منطقة الدراسة "جنوب الرقة".....3
(2)	- الوضع الطبوغرافي.....1.3
(2)	- المناخ.....2.3
(4)	- الوضع الجيولوجي.....3.3
(4)	- اجراءات المسح الإشعاعي.....4
(6)	- القياسات ومعالجة المعطيات.....5
(7)	- نتائج المسح الإشعاعي.....6
(9)	- النشاط الإشعاعي الكلي.....1.6
(9)	- البوتاسيوم.....2.6
(12)	- اليورانيوم.....3.6
(12)	- الشوريوم.....4.6
(15)	- خاتمة وتوصيات.....7
(15)	- خاتمة.....1.7
(15)	- توصيات.....2.7
(16)	المراجع.....
(17)	ملخص باللغة الانكليزية.....

ملخص

Abstract

نفذ المسح الإشعاعي الطيفي في منطقة الدراسة (جنوب الرقة) باستخدام مطياف أشعة غاما المحمول بالعربة، حيث غطى مساحة تقدر بـ 2800 كم^2 ، غطيت بسبعين عشرة خط مسح معامد لاتجاه الطبقات الجيولوجية، ببعاد 8 كم ، بأطوال مختلفة حسب اخناء نهر الفرات كون المنطقة تنتهي عند الحافة الجنوبية لنهر الفرات. جمعت معطيات المسح بملف واحد وعوّلحت آلباً وحددت التراكيز الإشعاعية المكافحة لكل من اليورانيوم ppm eU والثوريوم ppm eTh ونسبة البوتاسيوم %K . وقدرت أيضاً وحدات النشاط الإشعاعي الكلي Ur بقصد تكامل المعطيات الإشعاعية لمنطقة الدراسة، حددنا موقع الشذوذات الإشعاعية بدقة على الأرض الذي أدى إلى إعطاء نظرة شاملة عن توزع المواد المشعة في المنطقة.

ارتبطت الشذوذات الإشعاعية بشكل أساسى بالحدود بالبيوجين - نيوجين المتكشفة بالمنطقة وببعض السحنات العائدة إلى البيوجين والنويوجين. والشذوذات المنخفضة ترافق مع تجمعات حطامية ونواتج تجويفية وغسل للسويات الليثولوجية المختلفة ذات الأعمر الأقدم. ولكن جميع هذه الشذوذات لا تصل إلى درجة شذوذات إشعاعية مؤملة بل تبقى ضمن تصنيف الشذوذات الجيوكيميائية المرتبطة ليثولوجياً.

1. مقدمة

تعتمد تقنية المسح الإشعاعي الطيفي على تعداد أو قياس أشعة غاما المطلقة من تفكك العنصر أو النظير المشع التابع لسلسل اليورانيوم U²³⁸ والثوريوم Th²³² والبوتاسيوم K⁴⁰. تمتاز أشعة غاما باختلاف الطاقة التي تحملها مما يساعد على تحديد العنصر والنظير. تعتبر تقنية المسح الأشعاعي أحدى الطرق الأكثر استخداماً في التقييم عن توضّعات اليورانيوم وتساعد بشكل مباشر في تحديد وفرز شذوذات التراكيز ضمن الأقاليم المدروسة. وبالتالي تؤدي إلى وضع خرائط جيوكيميائية تبين توزيع البوتاسيوم واليورانيوم والثوريوم (Lovborg et. al, 1972; Aissa, 1994) كما يمكن الافادة من المعطيات الإشعاعية في الدراسات الجيولوجية وخاصة في وضع حدود للوحدات الصخرية وذلك اعتماداً على استجابتها الإشعاعية (Aissa and Jubeli, 1997). ولانتسی أهمية هذه التقنية في الحوادث البيئية والرقابة الإشعاعية (Raghuvanshi, 1992) كما يمكن حديثاً جمع المعطيات الإشعاعية المقاسة بطرق مختلفة سواء الأرضية او الجوية بعد تنفيذ إجراءات محددة عليها والإفادة منها في أعداد بعض الخرائط الإشعاعية (Jubeli et. al, 1997).

استخدم نظام المسح الإشعاعي الطيفي المحمول بالعربة في تنفيذ هذه الدراسة ويكون هذا النظام من مطياف وكاشف وبمجموعة تسجيل آلي ويمكن معرفة المزيد عنها في (Aissa and Jubeli, 1997). وقد تم مسح منطقة الدراسة بشكل خطوط متوازية ثم فوق كافة التشكيلات الجيولوجية المتكتشفة في المنطقة وذلك كونها تتصف بطبوغرافية هادئة . ثم حددنا التراكيز الأرضية للبوتاسيوم والتراكيز المكافقة لكل من اليورانيوم والثوريوم. كما قدرنا وحدات النشاط الإشعاعي الكلي بقصد تكميل المعطيات الإشعاعية تمهيناً لوضع خريطة الخلفية الطبيعية الإشعاعية للمنطقة وإضافتها لاحقاً إلى باقي الأجزاء المكونة لخريطة للقطر العربي السوري. لقد تم التركيز خلال المسح على حدود البالوجين نيوجين المتكتشفة في المنطقة، والتي تعتبر من وجهة نظر تقييمه مصادر مناسبة لاحتواء اليورانيوم الناتج عن غسل السويات الفوسفاتية العائدة إلى الأيوسين الأوسط والأدنى والكريتاسي الأعلى المتكتشفة إلى الجنوب الغربي من المنطقة " جبل المنشار" وكذلك وجود الفوارق التي يمكن ان تشكل مرات لحاليل عميقه يتوقف تأثيرها على السويات العائدة إلى حدود البالوجين - نيوجين.

2. هدف الدراسة

هدف العمل الحالي الى تحقيق مسح إشعاعي طيفي يقود لوضع خرائط توزع قيم كل من النشاط الإشعاعي الكلي ΣU والبوتاسيوم $K\%$ واليورانيوم المكافئ $eU ppm$ والثوريوم المكافئ $eTh ppm$ في منطقة جنوب الرقة بهدف التنقيب عن اليورانيوم والعناصر المشعة من جهة ومساعدة من جهة أخرى في الحصول على المعطيات الإشعاعية من هذه المنطقة غير المغطاة حتى الآن بأي مسح إشعاعي سابق استكمالاً لرقة من الخارطة المستقبلية الإشعاعية للقطر العربي السوري.

3. منطقة الدراسة

3.1. الوضع الطيولوجي

تقع منطقة الدراسة في الجزء الأوسط من القطر العربي السوري وعلى الأطراف الجنوبيّة لمدينة الرقة وجري نهر الفرات الشكل 1 . تمتد هذه المنطقة بين خططي طول $38^{\circ} 00' 00''$ ، $39^{\circ} 30' 00''$ وخطي عرض $35^{\circ} 30' 00''$ ، $36^{\circ} 00' 00''$ وهي عبارة عن منطقة منبسطة في الغالب مع بعض التجعدات القليلة التي تتقطع بسبب وجود بعض الأودية العميقة نوعاً ما. تشكل المنطقة الجزء الجنوبي لنهر الفرات، تنتشر المسيلات المائية بشكل شعاعي متراوحة على المرتفعات والتجههات باتجاه نهر الفرات حيث تقع أخفض نقاط منطقة الدراسة. الارتفاعات عن سطح البحر تنقص بشكل عام باتجاه الشرق والشمال الشرقي وهو اتجاه نهر الفرات.

3.2. المناخ

يسود المنطقة مناخ جاف، شبه قاري الى صحراوي وتتراوح الحرارة السنوية بين 45° - 4° درجة مئوية، معدل الماطل المطري مختلف كون المنطقة تقع على خط التقسيم المائي. تنتشر الأراضي الزراعية وتتعزز الكثافة السكانية على امتداد سرير نهر الفرات. أما المناطق بعيدة عن مجاري النهر فتعتمد على زراعة المحاصيل الموسمية وعلى تربية الماشي بشكل أساسي.



شكل ١ خريطة سوريا، موضح عليها موقع منطقة الدراسة (جنوب الرقة).

3.3. الوضع الجيولوجي

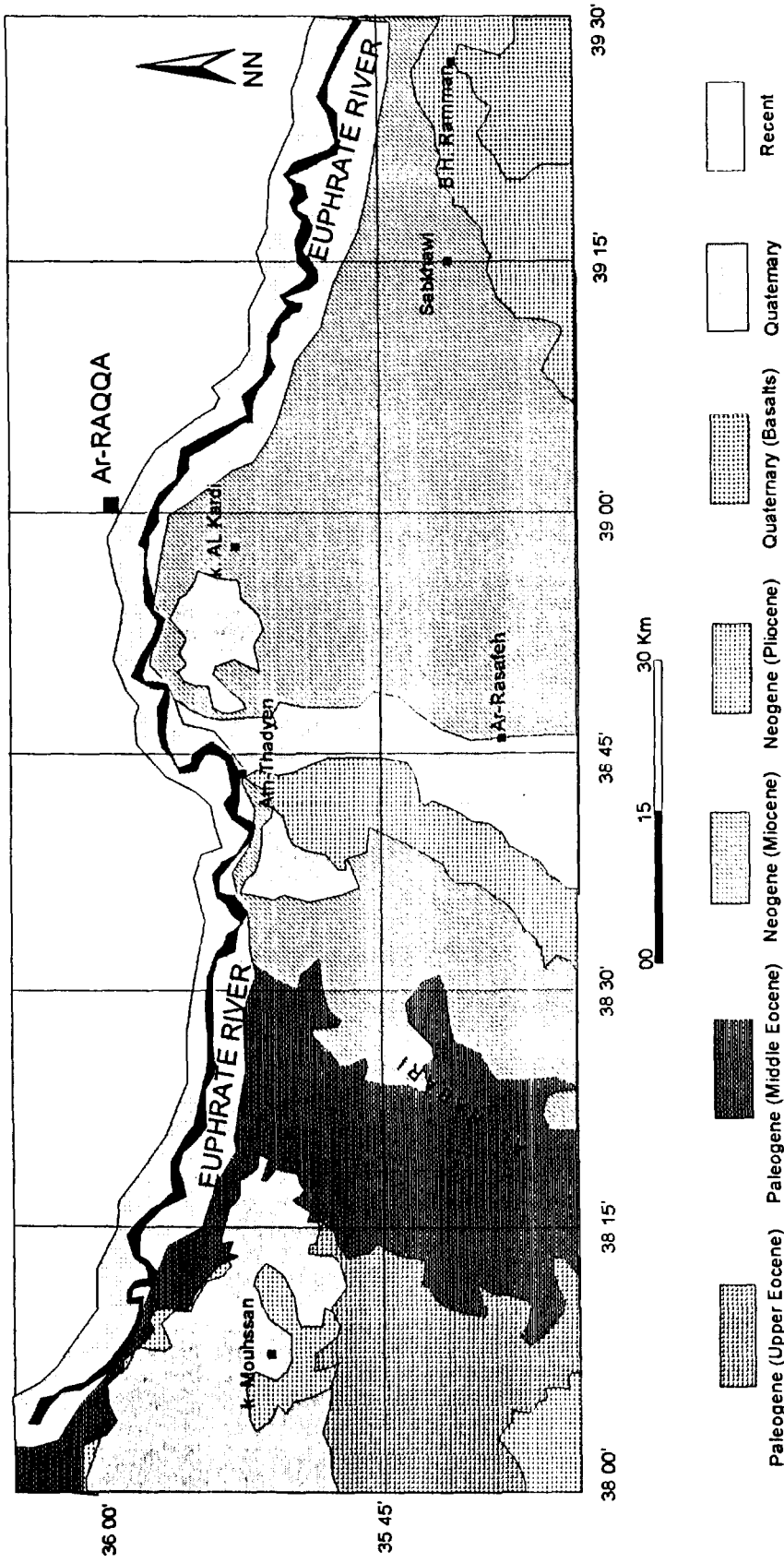
وضعت أول خريطة عن جيولوجيا المنطقة عام 1933 من قبل دربرتبه بمقاييس 1/1000000. كانت التكتشفات الجيولوجية فيها محدودة. تمثل معظمها بتواضعات عائدة إلى النيوجين [حجر كلس الفرات] لأن المنطقة تقع على الأعتاب الجنوبي لنهر الفرات. أما من خلال الخريطة الجيولوجية الأكثر تفصيلاً مقياس 1/200000 التي وضعت من قبل بونيكاروف ورفاقه (Ponikarov et. al, 1966) فنلاحظ تكشف صخور الباليوجين والنيوجين والرباعي في المنطقة الشكل 2. حيث يكتشف الباليوجين في الجزء الغربي من المنطقة ويتألف من صخور كلسية ومارنية وغضارية ورملية. تأتي بعدها تواضعات النيوجين حيث تبدأ بتواضعات رملية وبشكل متدرج وبدون حد مميز فوق صخور الباليوجين ثم تداخلات كلسية، غضارية مع جصية أحياناً ثم تختتم بتواضعات جصية ذات سماكات كبيرة عائدة إلى الميوسين الأوسط، بعدها تواضعات غضارية رملية عائدة إلى البليوسين ونجده أن هذه السحنات تدرج من البحرية المفتوحة إلى الشاطئية وحتى القارية. وبالتالي فإن صخور النيوجين تغطي حالي 60% من مساحة المنطقة المدروسة. أما الجزء الباقي فهو عبارة عن الأودية والمنخفضات التي تمتلئ بتواضعات رباعية من الحقيات وحطاميات وطمي وتبلغ سماكات كبيرة على ضفاف مجرى نهر الفرات. تنتشر في الزاوية الجنوبية الشرقية من المنطقة صبات بازلية وهي مقدوفات بركانية عائدة إلى الرباعي وناتجة عن تدفق اللاما من الصدع والتشققات.

4. إجراءات المسح الإشعاعي

قبل البدء بعمليات المسح الإشعاعي تقوم بعض الإجراءات لتحديد العوامل المتعلقة بعمليات المسح الإشعاعي، وذلك بعد دراسة منطقة العمل بعناية وتفصيل من خلال الخرائط المتوفرة سواء الطبوغرافية منها أو الجيولوجية، إضافة إلى الاستعانة بالدراسات السابقة المنفذة في المنطقة. كل ذلك يقدم بيانات لاباس بها عن جيولوجية وطبوغرافية المنطقة والتكتشفات الجيولوجية السطحية وأعمارها وساحتها ومدى ملائمة المنطقة لتنفيذ عمليات المسح. ومن خلال ذلك يتم تحديد معاملات المسح الإشعاعي والمتعلقة بدرجة كبيرة بمقاييس الخريطة التي تستخدم في عمليات المسح والتي يستقطع عليها خطوط المسح وأطوالها واتجاهها والمسافة الفاصلة بينها مع مراعاة أن تكون خطوط المسح عمودية على التكتشفات الجيولوجية. كما يتم اختيار فترة تنفيذ المسح بدقة من خلال المعطيات المناخية المتوفرة لتخفيض تأثير التباين في الحرارة والضغط الجوي والرطوبة على القياسات الحقلية بحيث تنفذ القياسات في فصل واحد

GEOLOGICAL MAP OF Ar - Raqqa Area

redrawn from Technoexport, 1966



شكل ٢ خريطة جيولوجية لمنطقة جنوب الرقة، محمل عليها مواقع بعض نقاط العلام.

ان أمكن ذلك.

غطت منطقة الدراسة بسبعة عشر خط مسح بأطوال مختلفة حسب اتجاه نهر الفرات كون خطوط المسح تبدأ من الخط الذي تنتهي به خطوط المسح الجوي لمنطقة بادية الرصافة وتنتهي وصولاً إلى الحافة الجنوبيّة لنهر الفرات، وتأخذ اتجاه شمال جنوب موازاة واستمرارية خطوط المسح الجوي المنفذة في المنطقة المتاخمة جنوباً لبادية الرصافة. بلغت المساحة المغطاة بالمسح الإشعاعي المحمول بالعربة 2800 كم² ، حيث تقع بين خططي طول "30° 00' 00" ، "38° 00' 00" وخطي عرض "35° 30' 00" ، "35° 00' 00". كما يدو واضحاً في الشكل 2.

جرى قياس الخلفية الإشعاعية الطبيعية Background لاستخدامها في معالجة المعطيات الحقلية فوق وسط مائي /نهر الفرات/ مرتين خلال فترة جمع المعطيات الحقلية وذلك لتحديد قيمة أشعة غاما من المصدر غير الجيولوجي والتمثلة بالأشعة الكونية Cosmic rays وأشعة الغلاف الجوي Atmospheric Radiation إضافة إلى التساقط الجوي للنوبيات المشعة الناجمة عن الانفجارات النووية.

كذلك تم حساب نسب التبعثر Stripping Ratios التي تعبّر عن تداخل اطيف أشعة غاما مع بعضها البعض لاستخدام هذه النسبة في معالجة المعطيات الحقلية، إضافة إلى حساب حساسية التواجد Window Sensitivities لاستخدامها أيضاً في عملية تحويل المعطيات إلى تراكيز إشعاعية مكافئة. نسب التبعثر وحساسية التواجد تم حسابها في موقع مختارة بعناية ودقة من قبلنا وبالتعاون مع خبراء من الوكالة الدولية للطاقة الذرية، وهذه المواقع هي /منجم خنيفيس، منطقة الاختبار Jubeli, Test Area (Jubeli, Test Area) 1996، سبخة المروح/.

5. القياسات ومعالجة المعطيات

نفذت القياسات الإشعاعية على طول خطوط متوازية باتجاه شمال جنوب وبسرعة تحرّك العربة حوالي 25 كم/سا. وذلك بمواكبة عدد المسافة مع الزمن، حيث كانت المسافة بين محطات القياس 100 م وذلك بتسجيل العد التراكمي لكل مائة متر وإسقاطه على شكل نقطة ممثلة لهذه المسافة، ومن أجل مراقبة تأثير العوامل المختلفة على القياسات حددت محطة قياس او مرجع في منطقة الدراسة Base Station سجلت بها قياسات نقطية يومية متعددة بمعدل ثلاث مرات يومياً، إضافة إلى استخدام هذه المحطة لأجراء معايرة طاقة الجهاز اليومية Energy Calibration بغية التأكد من دقة القياسات المنفذة.

دلت نتائج هذه القياسات المسجلة في موقع المخطة المرجع على عدم وجود تأثير ذو أهمية على نوافذ المطیاف خلال طول فترة القياسات الإشعاعية المنفذة في منطقة الدراسة.

جمعت معطيات المسح الإشعاعي المسجلة بمنطقة الدراسة في ملف واحد مع الملاحظات الحقلية التي تضم أرقام نقاط العلام لموقع الإسناد المميزة Fiducial No. واسمائها و مواقعها والتي تفيد في عملية إسناد المعطيات لواقعها الأرضية لعدم توفر نظام ملاحي آلي مثل GPS. نفذة المعالجة آلياً باستخدام الحاسب الآلي بواسطة برمجية طورت في قسم الجيولوجيا والخامات النوية من قبل عيسى ورفافة (Aissa et. al. 1994) تقوم بفحص المعطيات Validation وتصحيح الخلفية الإشعاعية الطبيعية Background وتصحيح نسب التبعثر Stripping Ratios اضافة الى تحويل المعطيات الى تراكيز مكافحة لكل من نسب البوتاسيوم واليورانيوم المكافئ والثوريوم المكافئ وتمثيل العد الكلي بوحدة النشاط الإشعاعي Ur وهي وحدة أوصت باستخدامها الوكالة الدولية للطاقة الذرية (IAEA report No. 1976, 174) وانهرياً ربط التراكيز بواقعها الأرضية ليتم تحديد الشذوذات بدقة على الارض وتفسيرها بما يتناسب مع موقعها الجيولوجي.

٦. نتائج المسح الإشعاعي

بعد انتهاء المعالجة المتمثلة بالتصحيحات بشكل رئيسي وإسناد التراكيز المكافحة لواقعها الأرضية ولتسهيل استقراء وتفسير معطيات المسح ذات الكم الكبير والتي يصعب عرضها في جداول مثلت معطيات المسح بشكل خرائط متساوية التراكيز الإشعاعية لكل من العد الكلي Ur ونسبة البوتاسيوم %K واليورانيوم المكافئ eU ppm والثوريوم المكافئ eTh ppm حيث تعتبر هذه الخرائط من الطرق الأكثر ملائمة واستخداماً وتحقيقاً وتعيناً عن محتوى المنطقة من المواد المشعة إذا تم الاختيار الجيد لمقياس الخريطة وللقيمة بين خطوط الكونتور Contour Intervale وقد دعمت هذه الخرائط موقع واسماء بعض نقاط العلام الأرضية لتسهيل ربط الشذوذات الإشعاعية الإيجابية مع ما يقابلها من القسمات والهيئات الأرضية ومعرفة أعمارها الجيولوجية وطبيعتها الساخنة. إضافة الى ذلك تم إجراء معالجة أحصائية لنتائج المسح الجدول 1 حيث بين متوسطات التراكيز الإشعاعية مع قيم ارتباتها التي تتوضع القيم المنخفضة نسبياً للتراكيز مقارنة مع التراكيز في مناطق تم مسحها سابقاً، وذلك كون المنطقة تغطي بالمربعات.

	Avr.	Std.	Min.	Max.
Total-Count (Ur)	5.81	1.70	2.11	11.19
Potassium (% K)	0.60	0.28	0.002	1.64
Uranium (ppm eU)	3.08	1.07	1.10	6.00
Thorium (ppm eTh)	3.97	1.19	0.34	7.38

جدول 1 ملخص أحصائي يظهر تراكيز العناصر المشعة بمنطقة جنوب الرقة، المحسوبة من قياسات أشعة غاما بجهاز المسح الاشعاعي المحمول بالعربة.

6.1. النشاط الإشعاعي الكلي Ur

-نتجة دراسة خريطة تراكيز النشاط الإشعاعي الكلي شكل 3 والتي تعبر عن تراكيز مكافئة لأشعة غاما ذات الطاقة الأعلى من 0.8 MeV والأقل من 2.62 MeV، المعبر عنها بوحدة Ur، يمكن تحديد بعض الواقع أو القطاعات كاماكن هالات إشعاعية تختلف قيمها بين المتوسطة والمنخفضة، حيث تصل أعلى قيمة لها في المنطقة الى 11.19 مع العلم بأن متوسط القيم بالمنطقة وصل الى 5.81 حسب التحليل الإحصائي لنتائج معطيات المسح الإشعاعي (الجدول 1).

الموقع (1): يمثل هالة ذات امتداد محدود، تقع الى الغرب من حقل الحباري النفطي في الزاوية الجنوب الغربية من المنطقة وتتركز على الإحداثيات "00° 35' 35" و "00° 02' 38" وتعتبر ذات تركيز متوسط للنشاط الإشعاعي الكلي حيث تصل قيمة Ur فيها الى 7. تتركز وترتبط عملياً بتواضعات حد بالبيوجين - نيوجين.

الموقع (2): يمثل هالة ذات امتداد محدود، تقع الى الشرق من الرصافة وتتركز على الإحداثيات "35° 00' 40" و "00° 56' 38" وتعتبر ذات تركيز متوسط للنشاط الإشعاعي الكلي. ترتبط عملياً بتواضعات النيوجين (الميسين).

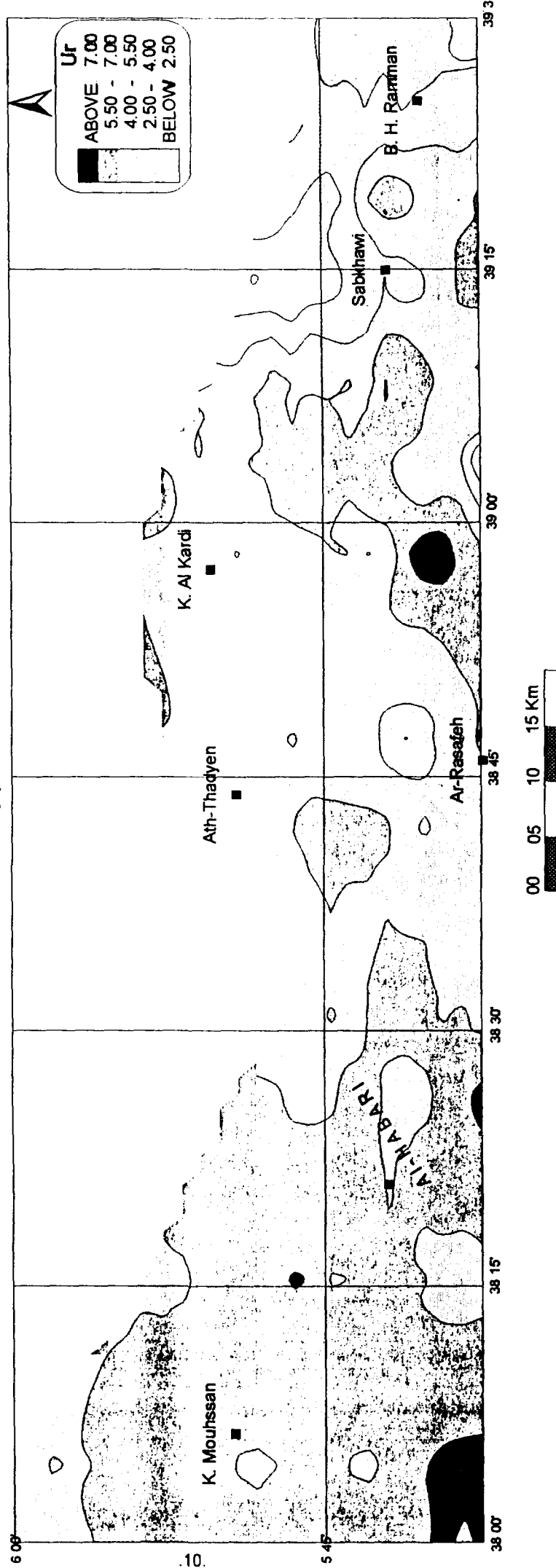
تنشر حول الموقع 1 و 2 حالات ذات تراكيز اقل من المتوسطة (Ur 7 - 3.5). تعود الاهالة حول الموقع رقم 1 الى التواضعات البالبيوجينية وتعبر عن المحتوى الطبيعي للتواضعات من المواد المشعة بينما الاهالة حول الموقع رقم 2 تعود الى التواضعات النيوجينية وهي ايضاً تعبر عن المحتوى الطبيعي لهذه التواضعات من المواد المشعة.

6.2. البوتاسيوم K %

من خلال الشكل 4 خريطة تراكيز البوتاسيوم نجد ان هناك بقعة صغيرة تميز بتركيز أعلى من 1% ظهرت بشكل واضح في المنطقة الواقعه بين بير هيال الرمان ومنطقة السبخاوي وتعود الى تركيز موضعی ضعيف لبعض فلزات ومعادن البوتاسيوم أو الأملاح ضمن تواضعات النيوجين. أما باقي أجزاء المنطقة تعبر عن المحتوى الطبيعي للمنطقة من البوتاسيوم.

TOTAL COUNT READINGS

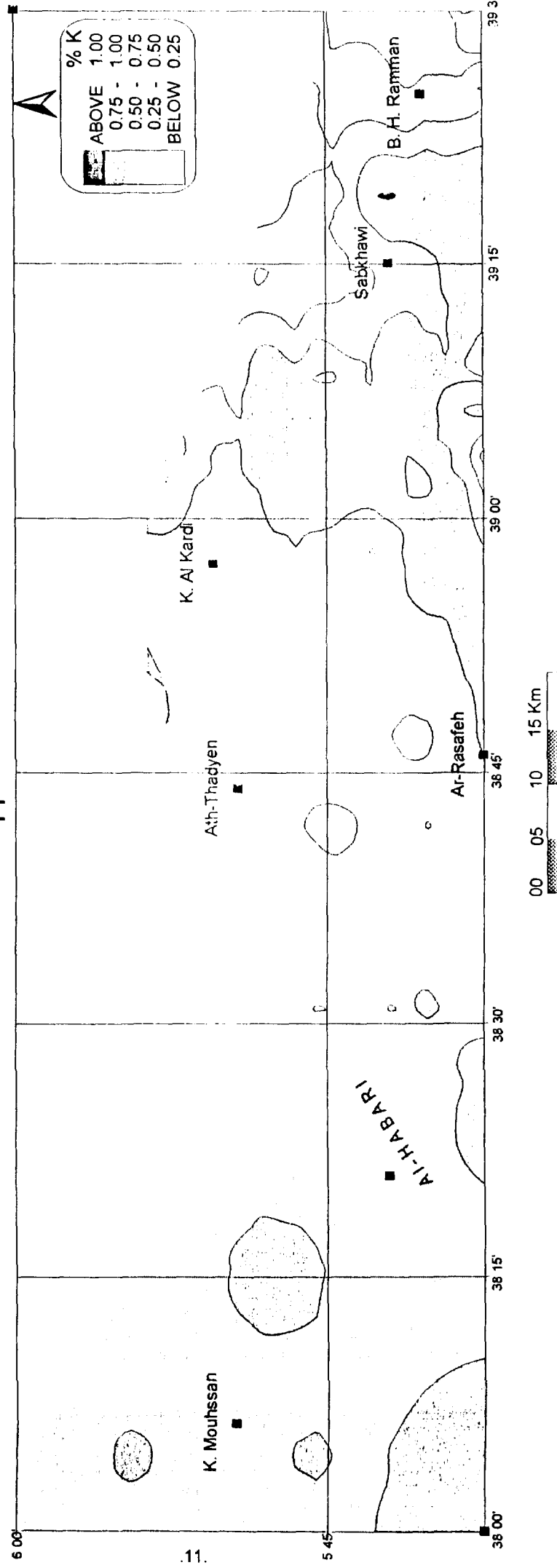
Ar - Raqqa Area



شكل ٣ خريطة متباينات وحدات النشاط الإشعاعي الكلي لمنطقة جنوب الرقة، محل عليها مواقع بعض نقاط العلام ، مع مواقع الشذوذات.

EQUIVALENT POTASSIUM CONCENTRATIONS

Ar - Raqqa Area



شكل : خريطة مشاريات نسب تراكيز البوتاسيوم لمنطقة جنوب الرقة، محل عليها مواقع بعض نقاط العلام.

6.3. اليورانيوم eU ppm

يمثل الشكل 5 خريطة توزع مكافئات اليورانيوم في منطقة جنوب الرقة، يظهر الشكل الشذوذات الإشعاعية والتي تصل الى أعلى من $eU \text{ ppm}$ 5 ضمن بقع عشوائية متفرقة وخاصة في الجزء الغربي من المنطقة حول حقل الحباري النفطي والى الشرق أيضاً من منطقة الرصافة وتعود هذه البقع الى تكشف غضار النيوجين الذي يتميز بشدات مرتفعة نسبياً، والى حد الباليوجين - نيوجين . هذه الشذوذات لا يمكن تصنيفها شذوذات إشعاعية ذات أهمية تنقيبية واما تبقى ضمن تصنيف الشذوذات الجيوكيميائية المرتبطة ليثولوجياً.

6.4. التوريوم eTh ppm

يظهر الشكل 6 توزع تراكيز التوريوم في المنطقة ومن خلاله نلاحظ قطاعين مميزين تنتشر فيما بقع ذات تركيز أعلى من $eTh \text{ ppm}$ 5. القطاع الأول وهو في الجهة الغربية من منطقة الدراسة حول حقل الحباري النفطي يتافق وفق المعطيات الجيولوجية والمشاهدات الحقلية مع الحطاميات وتوضعات حد الباليوجين - نيوجين، أما القطاع الثاني وهو في الجهة الشرقية من المنطقة وخاصة الى الشرق من قرية الكردي وفي الجنوب من منطقة السبخاوي وتعود هذه البقع المتفرقة الى نواتج تحوية الصخور البركانية القديمة منها والحديثة.

من خلال ما سبق ذكره نجد أن هناك ثمانية من التوزع للحالات الشذوذات الإشعاعية بالمنطقة:

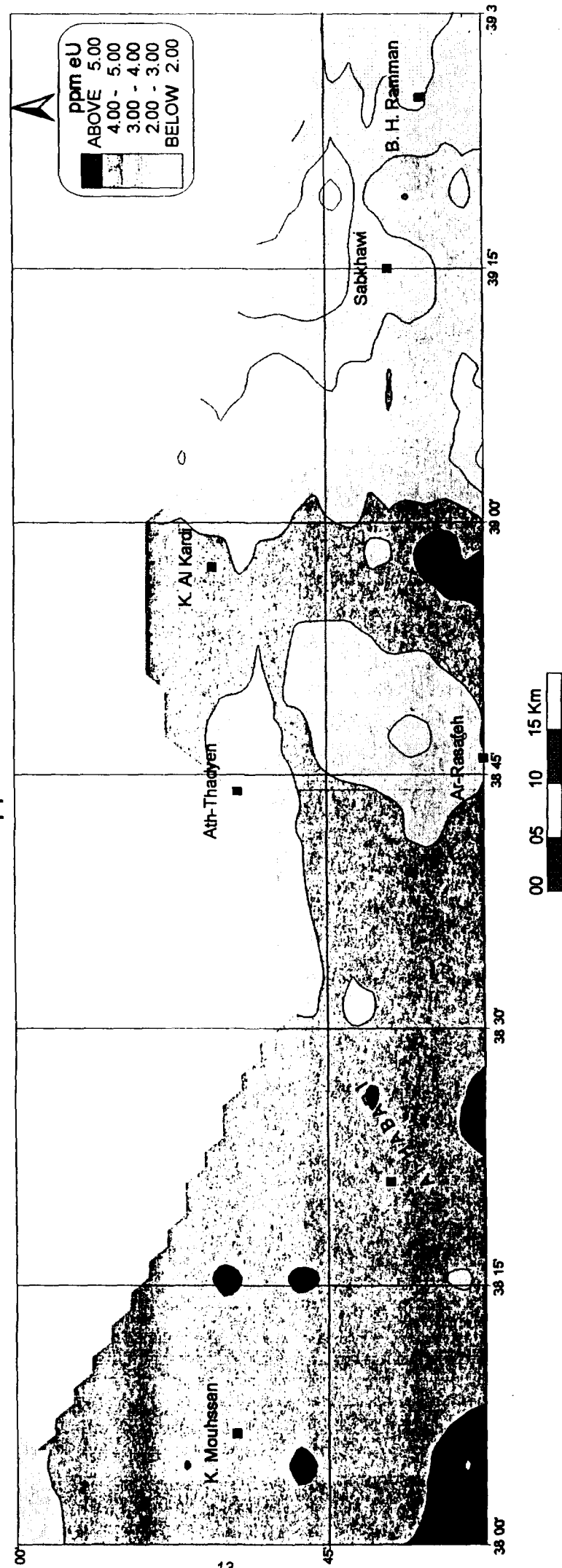
النمط الأول: يتميز بتركيز متوسط لكل من النشاط الإشعاعي الكلي واليورانيوم والتوريوم يتركز موقع تكشف السحنات الجيولوجية الممثلة لحد باليوجين - نيوجين والمتمثلة بسطح حتى مترافق مع سويات حطامية وحصوية يمكن ان تتشكل وسط مناسب لاحتواء مكونات صخرية ذات نشاط إشعاعي عالي نسبياً، يتكشف السطح الحجري في الجزء الغربي من المنطقة الى الغرب من حقل الحباري النفطي وغرب منطقة الرصافة.

النمط الثاني: يمثل تراكيز اقل من المتوسطة ينتشر بشكل هالة حول النمط الأول، ويعبر هذا النمط في الجزء الغربي من منطقة الدراسة عن توضعات الباليوجين، أما في الجزء الشرقي فيغير عن التوضعات النيوجينية.

هذه الأنماط تمثل في واقع الحال شذوذات إشعاعية اقل من المتوسطة ولا تمثل آمالاً تنقيبية بل تبقى ضمن تصنيف الشذوذات الجيوكيميائية المرتبطة ليثولوجياً.

EQUIVALENT URANIUM CONCENTRATIONS

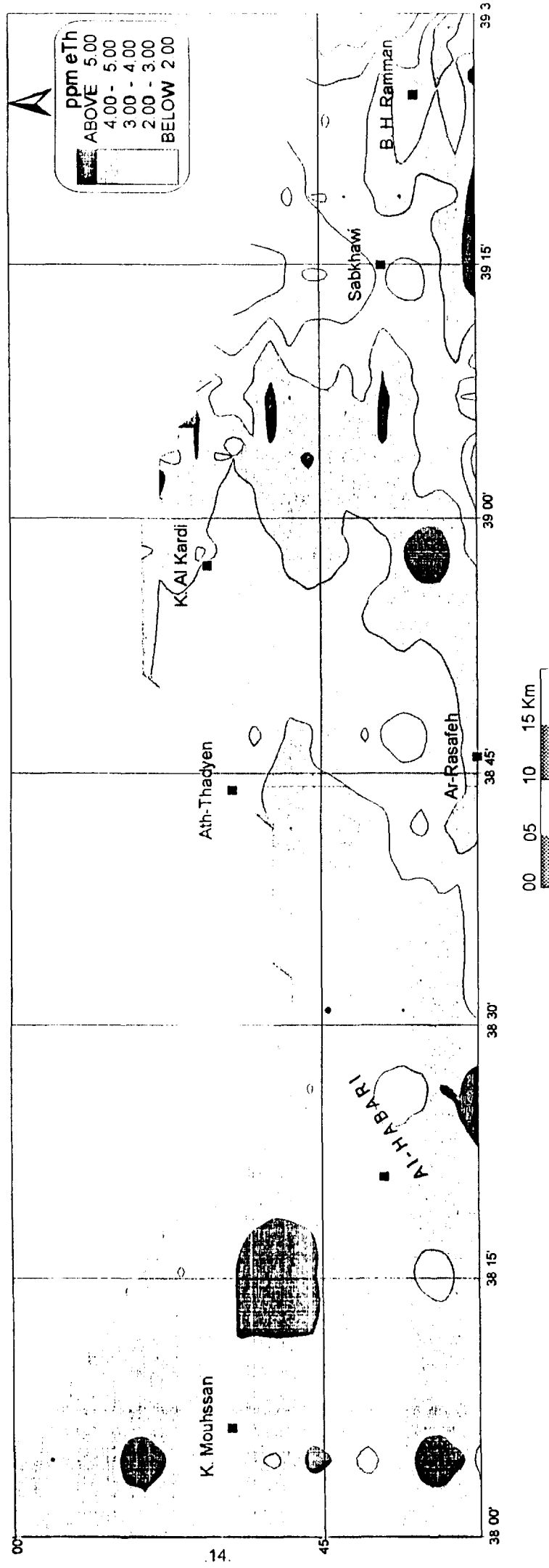
Ar - Raqqa Area



شكل ٥ خريطة مسحولات مكافئات الترacer الأرضية للبوراتيوم بمنطقة جنوب الرقة، محمل عليها مواقع بعض نقاط العلام.

EQUIVALENT THORIUM CONCENTRATIONS

Ar - Raqqa Area



شكل ٦ خريطة متساوية مكافئات التراكيز الأرضية للثوريوم بمنطقة جنوب الرقة، محمل عليها بعض نقاط العلام.

7. خاتمة و توصيات

7.1. خاتمة

نتيجة جمل الأعمال المنفذة بمنطقة الدراسة ملخص لما يلي:

- 1- تم تحديد قيم التراكيز الإشعاعية الأرضية المكافئة لكل من اليورانيوم والثوريوم ونسب البوتاسيوم إضافة إلى معرفة سويات النشاط الإشعاعي الكلي، ووضعت خرائط لهذه التراكيز لمساحة 2800 كم².
- 2- حدد عدد من النطاقات الإشعاعية على الخرائط أظهرت تراكيز مختلفة ترافقت بشكل أساسي مع حد باليوجين - نيوجين وأحياناً ضمن الباليوجين أو التيوجين. لكن هذه النطاقات لا تصل إلى درجة شذوذات إشعاعية مؤلمة بل تبقى ضمن تصنيف الشذوذات الجيوكيميائية المرتبطة ليثولوجيا.

7.2. توصيات

- 1- السعي لتامين نظام GPS يدوى من أجل ربط المعطيات ب مواقعها الأرضية بدقة أكبر. مع العلم بأن هذا الجهاز رخيص الثمن وبسيط الاستخدام، إضافة إلى إمكانية الاستفادة منه في كافة الأعمال الحقلية التي تتطلب تحديد موقع.
- 2- تحتاج أجهزة المسح الإشعاعي إلى إجراء معايرة دورية لضبط دقة الأجهزة وللحصول من دقة المعطيات التي تحصل عليها. تم هذه المعايرة عادة على قواعد معايرة استثنائية خاصة، مثل هذه القواعد موجود في هيئة الموارد النووية في جمهورية مصر العربية. نوصي بإجراء المعايرة لتجهيزات المسح على هذه القواعد، وذلك عن طريق التعاون مع الهيئة العربية للطاقة الذرية وهيئة الموارد النووية المصرية.

REFERENCES

- 1] Aissa, M., 1994. Carborne gamma-ray spectrometric survey for uranium exploration in Palmyrides Internal report, SAEC, Damascus, Syria.
- 2] Aissa, M., AL-Fares, W. and Mouty, M., 1994. A pascal program for radiometric survey data processing. Unpubl., Internal report, SAEC, Damascus, Syria.
- 3] Aissa, M. and Jubeli, Y., 1997. Carborne gamma-ray spectrometric survey of an Area, East of Homs, central Syria, Applied Radiation and Isotope. Vol. 48, No. 1 pp. 139-142.
- 4] IAEA, 1976. Radiometric reporting methods and calibration, In uranium exploration. Technical report Ser. No. 174, 57 pp.
- 5] Jubeli, Y. M.; Aissa, M., and AL-Hent, R., 1997. Merging airborne and carborne radiometric data fsurvDEIR-AZ-ZOR area, Syria. Under publ., ARI.
- 6] Jubeli, Y. M., 1996. The possiblity of using a Test Area of dry Land instead of water for correcting the background radiation during Airborne Surveys. Internal report, SAEC, Damascus, Syria.
- 7]- Lovborg L. Wollenberg H. Rose-hansen J. and Nielesen B. (1972) Drill-Core scanning for radioelements by gamma-ray spectrometry. geophysics P. 693- 693.
- 8]- Raghuwanshi S. S. (1992) Airborne gamma-ray spectrometry in uranium exploration. Adv. Space Res. Vol.12, No. 7, PP. 77-86.
- 9] Ponikarov, V.; Kozlov, V; Artyemov, A. and Kalis, A., 1966. Geological map of Syria. Explanatory notes. sheet I-37-XXI and I-37-XXII.

Carbone gamma-ray spectrometric survey of Ar-RAQQA Area, Syria

Y. M. JUBELI, M. AISSA and R. AI-HENT
Syrian Atomic Energy Commission, Department of Geology and Nuclear Ores
P. O. Box 6091, Damascus, Syria

Abstract

A carbone gamma-ray spectrometric survey was carriedout over the surface of Ar-RAQQA region. An area of 2800 Km² was covered by a total of 17 survey lines. The whole radiometric data were collected in one computer file which latter was processed to determine the equivalent concentration of uranium, thorium, potassium and the units of total radioactivity. The anomalies were classified, located and then assigned to their specific ground locations.

It was found that the anomalous radiometric halos related to the lithological boundary between the Palaeogene and Neogene as well as in few of their rock units. Also, some halos of relatively low values were related to the clastic accumulations resulted from the weathering of older rocks which may contain some grains with higher concentrations radioactive elements. Finally no anomalies suitable as a target for radioelement exploration were found.